ЛИТОДИНАМИКА РИФТОГЕНЕЗА АРАКСИНСКОЙ ЗОНЫ (АРМЕНИЯ)*

© 2009г. М.А. Сатиан, Ж.О. Степанян, А.Х. Мнацаканян, Л.Г. Саакян

Институт геологических наук НАН РА
0019, Ереван, пр Маршала Баграмяна, 24а, Республики Армения
е mail <u>msot sci@mail.ru, lilitsahakyan@yahoo com</u>
Поступила в редакцию 29 05 2008г.

На основе подробного литоформационного картирования выходов вулканогенно-осадочных толщ мезозоя Араксинской зоны, глубокого параметрического и структурного бурения, в сочетании с сейсмическим профилированием коры и другими геофизическими методами, рассматривается формационная типизация, геохронология вулка ногенно-осадочных толщ, доработана схема многоэтапного рифтогенеза коры юга Закавказского геотраверса в мезозое Наиболее значительным результатом является выделение в так называемой хосровской толще карбонатновулканогенной формации (J, b), -К, ber) переходной от континентального рифтинга к спредингу (офиолитогенезу); существенно уточнены состав и строение кремнисто-известнякововулканогенной формации офиолитсвой серии (Ј, К, т). Тем самым место офиолитов, характеризующее стадик) спрединга в эволюционном ряду формаций мезозоя Араксинской зоны, становится еще более соответствующим комплексу геолсго-геофизической информации. Результаты химических анализов пород, слагающих выделенные вулканогенно-осадочные формации мезозоя, приведены в таблицах 1 и 2 и отражень на классификационной диаграмме TAS (puc.3).

Вулканокластово-эффузивная базальтовая формация (лейас)

Выходы пород формации на юго-востоке Араксинской зоны, у ст. Неграм и у с. Азнаберд слагаются эффузивами базальтов и диабазов толеитовой серии Они включают пачки вулканскластических, изредка вулканомиктовых пород У с. Азнаберд обнаружены пикриты, пикродолериты, пикробазальты, кроме них малые интрузивы аббро-диабазов и диабазов, датированные (К/Ar) 320±10 млн. лет (Гасанов, 1985). Они, как видно по разломам, соотносятся с базальтовой формацией лейаса. Дайки и силлы базальтоидсв картируются в выходах осадочного позднего палеозоя-триаса придолинной части Аракса (Ахундов, Мамедов. 1983) В разрезе Да-

рашам-2 силлы и дайки долеритоз, оливиновых базальтов датированы (K/Ar) в 232-243 ± 2,1 млн. лет. Там же выявлены дайки щелочных керсутитовых базальтов - (K/Ar) 120±2 млн. лет, трахиандезитов - (K/Ar) 104 ± 2,2 млн. лет (Ханзатян, 1992) Контакты базальтовой формации с карбонатным поздним триасом маскированы аллювием Аракса, либо осложнены разломами, что затрудняет объективную оценку мощностей. Имеется большой разброс в определениях Мощности лейаса у ст. Неграм от 120 до200-400м (Азизбеков, 1961; Ростовцев, Азарян, 1971; Карякин, 1989), сокращение мощностей отмечается у с. Азнаберд и резкое сокращение до 10-40м на северо-западе, у с Билява. Кровля формации перекрыта трансгрессивно залегающими кварцевыми песчаниками аалена (Азизбеков, 1961). Для составов базальтов неграмского и азнабердского разрезов харак-

Таблица 1 Химический состав вулканических пород базальтовой формации лейаса Нахичеванской подзоны

Оксиды,	1	2	3	4	5	6
SiO ₂	45,78	50,77	54,44	48.05	48,63	50,80
TiO ₂	0,16	0,14	0,10	0,14	2,07	2,46
Al ₂ O ₃	21,39	20,52	20,71	20,87	15,48	15,95
Fe ₂ O ₃	4,58	3,52	3,54	3,20	7,66	8,12
FeO	2,32	1,20	1,59	1,33	4,16	4,71
MnO	0,11	0,10	0,10	0,06		0,20
CaO	9,56	9,12	7,55	9,98	8,86	7,98
MgO	7,82	7,42	5,12	7,64	5,27	4,83
Na ₂ O	2,85	3,25	2,90	2,66	3,26	3,73
KO	0,80	1,30	0,82	0,5	0,92	0,83
влага	1,20	0,61	1,32	1,24		-
n.n.n	3,79	1,51	2,47	3,87		
P,O,	-	-			4	0,34
Сумма	100,36	99,46	100,66	99,54	96,31	99,95

Примечание: 1- днабазовый порфирит; 2 - авгитовый порфирит; 3 - афировый базальт; 4 - туф диабазового порфирита (Азизбеков, 1961); 5 - базальты лейаса (среднее по 59 обр., Карякин, 1989); 6 - средний состав толеитовых базальтов базальтовой формации (по 25 анализам, Ломизе, 1983).

[•] Публикуется в порядке дискуссии (прим ред.)

терны сласая дифференцированность (SiO, 42,62-53,01%), низкая глиноземистость (Al,O, <16%) и высокая титанистость (TiO, 1,14-3,95%) (табл.1). На диаграмме AFM все анализы располагаются в поле толеитовых базальтов, что подтверждается также диаграммой TiO, FeO/MgO, выявляющей прогрессивное накопление в остаточном расплаве титана, обычное для толентовых серий (Карякин, 1989). На диаграмме Ti/100-Zr-Y/3 выявляется сходство с базальтами внутриплитовой обстановки океанических островов и конгинентальных рифтов По комплексу геологических признаков они принадлежат континентальному рифту (Карякин, 1989).

Выше по долине Аракса базальтовая формация лейаса (?) вскрыта глубокой скважиной (№5-Маркара) (рис.1) в интервале от 1871м — до забоя (2939м). Кровля перекрыта пестроцветной молассой (Р₁-N₁). Базальтовая толща была отнесена к офиолитовой серии мела (Сатиан и др., 1967). Пересмотр кернов, сопоставление с разрезом лейаса Неграма по параге-

незам пород и последовательности в разрезе, уровень метаморфизма, а также новые гравиметрические данные (Сатиан и др., 2006), в частности с.-з. простирание положительной аномалии от подошвы Арарата, привели к выводу о более древнем, раннеюрском, возрасте вскрытой скв 5 - Маркара толщи мощностью более Ікм (возможно, включая и поздний палеозой(?) триас); подчеркнем при этом, что офиолитовый шов имеет широтное простирание В верхней части разреза вулканогенной толіци развиты базальты, в низах - преимущественно метадиабазы, трещиноватые, брекчированные. Встречены габбро-диабазы, редкие лампрофиры-дайки (?) спессартитов (петрография Л.С. Чолахян, ИГН). Базальты чаще афировые, реже порфировые. В афировых базальтах (верхней части разреза) микролиты плагиоклаза и сланцеватая основная масса пелитизированы (монтмориллонит, редко каолинит), характерны обильные прожилки гидроокислов железа. Фенокристы плагиоклаза порфировых базальтов замещены пренитом, кар-

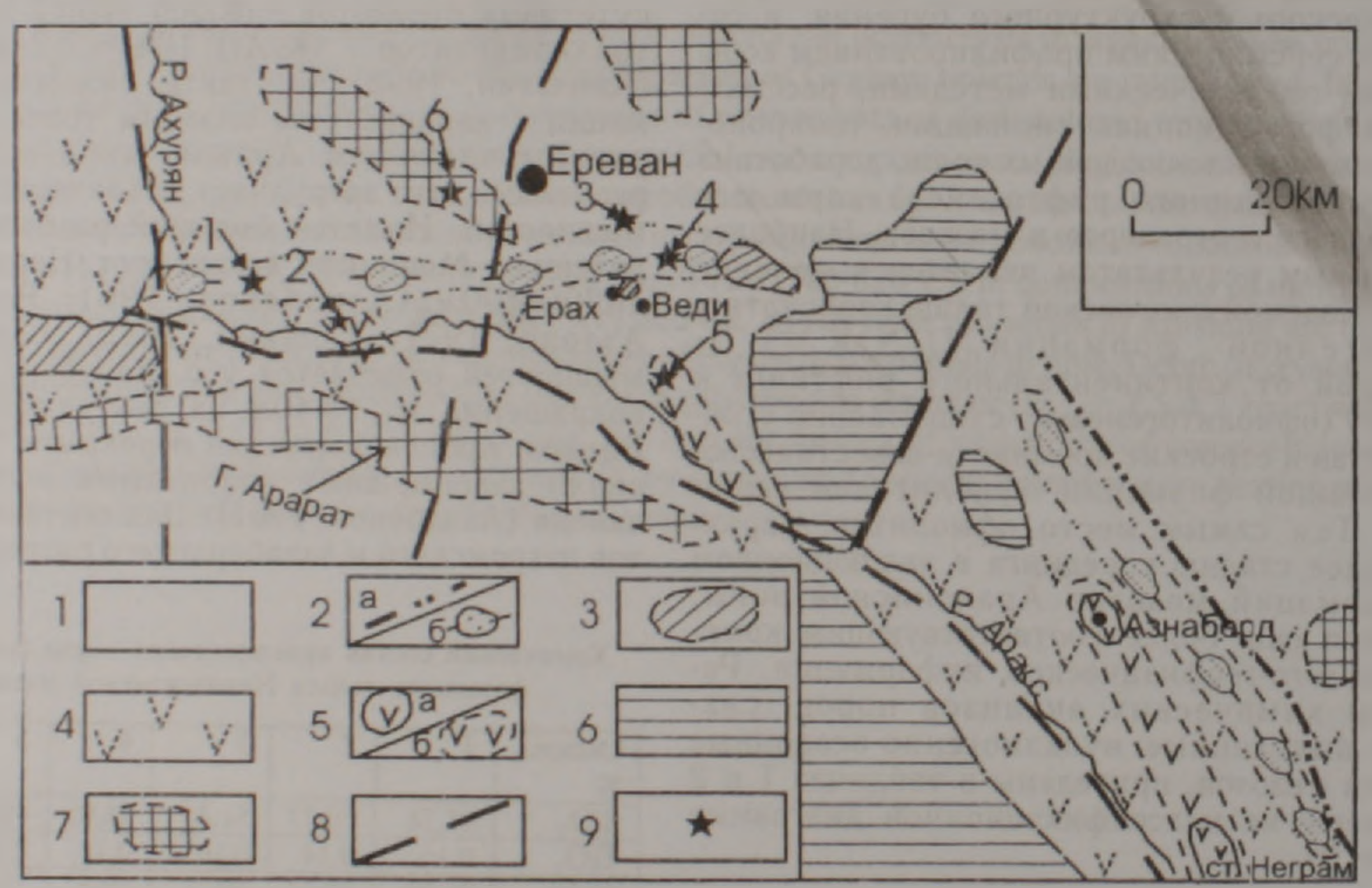


Рис. 1. Схема распределения вулканогенно-осадочных формаций мезозоя Араксинской зоны. 1 - постофиолитовые комплексы: флишоидный, молассовый и наземно-вулканический вне Араксинской зоны рифтогенеза; 2 - простирание: а) эффузивно-вулканической формации (К "-К,"), б) кремнисто-известнякововулканогенной (офиолитовой формации) (К,); 3 - выходы кремнисто-известняково-вулкано енной формации офиолитовей серии и карбонатно-вулканогенной формации (Ј, ч,-К, №1); 4 - зона полициклического рифтогенеза коры (современная структура); 5 - а) выходы пород базальтовой формации (Ј,), б) погребенные участки под меловым-кайнозойским комплексом; 6 - выходы пород варисского субплатформенного комплекса (Рг2-1-Т) и сопредельные участки, перекрытые более молодыми отложениями: обобщенный контур; 7 древний метаморфический комплекс (Pcm): выходы и погребенные поднятия под фанерозойским комплексом- борта зоны рифтегенеза, 8 - зоны Приараксинского и поперечных глубинных разломов; 9 - скважины: 1 Октемберян-1, 2 - Маркара-5, 3 - Двин (Чатма-1), 4 - Веди (Карабахлар-1); 5 - Арарат-1; 6 - Паракар (группа скважин). Дополнительные пояснения к схеме. По результатам глубокого бурения (скв. 5- Маркара и 1-Октемберян, Мхчян-11, Паракар-111 и др.), сейсморазведки, а также глубинного сейсмического профилирования (ст. "Зеиля" и "Черепаха", Егоркина и др., 1976, Осипова, Арменакян, 1975), в басс. р. Веди по литоформационному картированию (Сатиан и др., 2001) и данным бурения (скв. 1-Чатма, 1-Веди, 1-Арарат); для Нахичеванской впадины- по данным Рустамова М в (1979 по гравиметрической карте (Ахундов, Мамедов, 1983) и Геологической карте (Азизбеков, 1961); по результатам геокартирования пограничных районов СЗ Ирана и восточной Турции (М. 1:250000 и 1 5000000) и компиляции гравиметрических карт массина Арарат и левобережья р. Аракс, выполненной Р Г. Мириджаняном (Сатиан и гр. 2006)

бонатом, хлоритом С глубиной в порфировых базальтах апгит по краям и трещинам замещен тремолитом, в основной массе по трещинам развиваются эпидот, карбонат, кварц, имеются редкие интервалы, где породы интенсивно ими замещены

В средней части разреза (инт. 1939-2052м) встречены кристалло-литокластические и литокластические туфы базальтов, осадочные породы не отмечаю ся. Породы большей части разреза формации преобразованы в зеленосланцевой фации (хлорит альбит, тремолит, эпидот, кальцит). Западнее, пс левобережью Аракса, вблизи города Арарат глубокой скважиной 1-Арарат (рис 1) вскрыты породы граувакковой формации позднеконьякского возраста С глубины 410 по 915м скважиной вскрыты основные вулканические породы, на глубине до забоя (1444м) разрез слагают мелкозернисто-органогенные известняки, доломитизированные, а также перекристаллизованные и сланцеватые их разности; в верхах разреза среди известняков есть редкие прослои измененных базальтов толентовой структуры, кварцевых алевролитов и песчаников (интервалы 1108-

1111м, 1166-1169м). Мелкозернисто-органогенные известняки содержат микрофауну пермского возраста. Породы вулканогенного разреза формации слагаются измененными трещиноватыми афировыми базальтами с реликтами структуры спилитов и спилитовых порфиритов. диабазов. Вторичные минералы: альбит, хлорит, карбонат, кварц Вскрыта также дайка (?) спессартита. Среди базальтов отмечаются редкие линзы (?) яшмоидов, сильно ожелезненных и с глинистой примесью Эта толща сходна и с поздним (?) триасом, и лейасом полосы Неграм-Азнаберд. а также с низами разреза пород карбонатновулканогенной формации, выступающей в басс р. Веди. Эти толщи условно отнесены к позднему триасу - лейасу, средней и поздней юре, а верхняя часть разреза - к среднему мелу, где возраст измененных спилитов определен (К/Аг) 110±5 млн. лет. Следует отметить близрасположенные (севернее с Армаш, в ущелье среди карбонатного позднего палеозоя) выходы метадиабазов и других основных пород, относимых (Аракелян, 1957) к продуктам вулканизма варисского комплекса, сходных с таковыми у с. Азнаберд и ст. Неграм

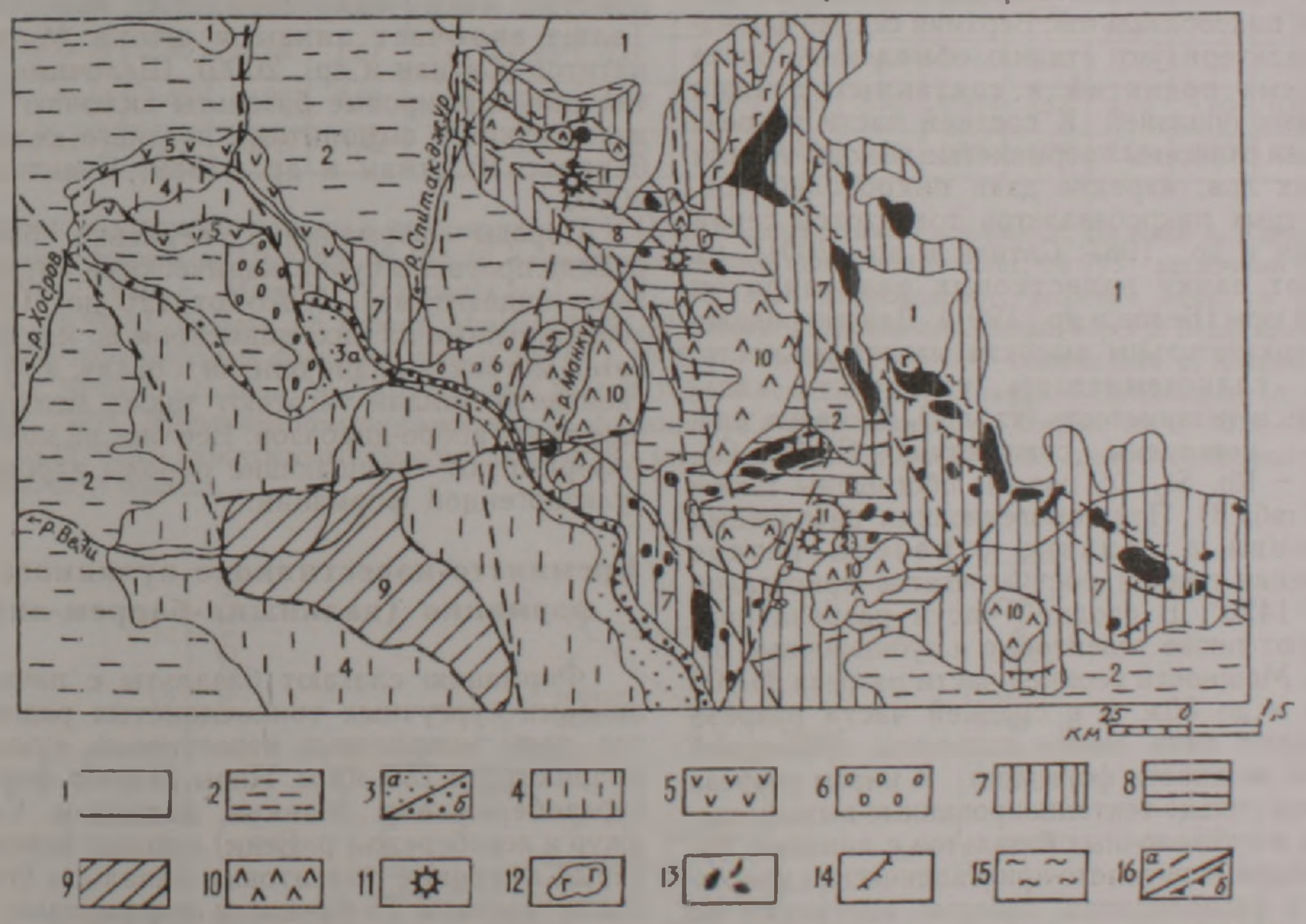


Рис. 2. Схематическая литоформационная карта верховья бассейна р. Веди. Составил М.А. Сатиан (ИГН НАН РА, 2001г.)

Карбонатно-вулканогенная формация (средний(?)-поздний байос-келловейберрнас)

В верховье долины р. Веди породы формации, интенсивно складчатые, разобщенные разломами на блоки, слагают ядро Манкукской антиклинали, асимметричной с крутым и местами опрокинутым южным крылом (рис.2). Верхняя часть разреза формации мощностью до 100-150м включает маркирующие пачки тонкослоистых, чаще ритмично-слоистых онкоидных известняков, содержащих водоросли, с пропластками кремней тонкообломочной структуры с признаками градационной слоистости. К этой же части разреза стнесены и олистолиты (от нескольких метров до нескольких десятков метров в поперечнике) кристаллических апоорганогенных серых известняков, участками в перемятом тонкослоистом карбонатном матриксе, штоки и линзы доломитовых карбонатитов, штоки железистых, красных и табачно-желтых силицитов глобулярной структуры - осадков гидротерм. На разных уровнях нерегулярно размещены потоки субщелочных миндалекаменных базальтов, пикробазальтов. Верхняя секция формации характеризует стадию обмеления, роста подводных поднятий и связанных с ними склоновых оползней К средней части разреза формации отнесены прерывистые выходы черных шаровых лав, изредка даек пикродолеритов, темно-серых пикробазальтов толеитовой серии (Асланян и др., 1987; Сатиан и др., 2001), их вмещают пачки известковых радиоляритов поздней юрь (Белов и др., 1991). Для пикродолеригов показательны высокая магнезиальность, низкие глиноземистость, калиевость, кальциевость и титанистость (табл 2), из малых элеповышены содержания Сг, Ni, Co, низкие - Rb, Sr, Zr, породы обогащены также ТРЗЭ (табл 3). При гомогенизации расплавных включений в оливине отмечены резкое помутнение поля и рост агрегатов кристаллов при T>142(1°. В средней части разреза присутствуют также толентовые и субщелочные базальты. Мощности верхней части разреза до 100 метров и до 50м - в средней части разреза составляют лишь менее половины суммарной видимой мощности формации. К низам разреза отнесены сильно тектонизированные выходы щелочных и субщелочных базальтов с линзами будинированных пятнисто-кристаллических известняков и радиоляритов, которые выступают по бортам поперечных долине р. Веди ущелий, восточнее реки Манкук в 2,5-3,5км. Породы формации вмещают мелкие диатремы (до 70, реже -250 метров по длинной оси) щелочно-лампрофировых туфов, контролируемые разломами и их пересечениями. Туфы включают ксенолиты миндалекаменных базальтов, кальцитовых карбонатитов, габбро, трахитов, изредка ультрабазитов (Сатиан и др., 2005). Е выходах радиоляритсв вверх по долине р. Веди определен комплекс радиолярий среднего и позднего байоса и бата (Danclian et. al., 2008) В эффузивных и

пирокластических породах карбонатно-вулканогенной формации вторичными минералами
являются хлорит, альбит, карбонат. В гологиалиновых туфах щелочно-лампрофировых диатрем по стеклу развиты монтмориллонит, цеолиты, изредка каолинит. Как видно, преобразование пород формации находится на границе глубинного эпигенеза с переходом к фации зеленых
сланцев.

Наиболее крупная диатрема (450х280м) выявлена в ядре Ерахской антиклинали Ксенолиты преимущественно коровые. Показательно, что среди них не были выявлены радиоляриты и метаморфические сланцы. Радиологические (К/Аг и Rb/Sr) датировки дают большой диапазон (173-105 млн. лет) возраста туфов и ксенолитов. В тектоническом меланже на западном фланге Ерахской антиклинали выявлены крупные блоки спилнтов, датируемых (К/Аг) в 199 млн. лет.

В ядре антиклинали к карбонатно-вулкано-генной формации относятся на севере керсутитовые щелочные базальты (~100м), на юге по разлому с ними контактируют толеитовые базальты (~180м) с линзами и пачками тонкослоистых мелко-микрозернистых известняков Толща включает линзы и штоки Мд-карбонатитов (Сатиан и др., 2000). Щелочные керсутитовые порфировые базальты включают линзу известняков с аммонитами позднего келловея берриаса (Сатиан и др., 1989; Кванталиани, 2000).

Породы формации в верховье бассейна р. Веди прорваны субвулканическими витрофировыми андезитами (К/Аг- от 120 до 105 млн лет), крупные из них, диаметром до нескольких сотен метров, в плане близки к овалу; к Манкукской антиклинали тяготеют также мелкие рвущие тела габбро-диабазов. Все они на контактах деформируют вмещающие породы карбонатновулканогенной формации.

Кремнисто-известняково-вулканогенная формация (валанжин-баррем-апт?)

Формацию слагают базальты с пачками и линзами сургучных тонкослоистых радиоляритов, реже микритовых известняков, суммарной мощностью в 250-300м. Низы разгеза формации (правобережье р. Манкук, долина р. Спитакджур и левобережье р. Веди) слагают зеленовато серые афировые толентовые базальты (табл.2). Выше развиты Ге-базальты порфировые, красновато-бурые шаровидные. Андезиты витрофировой структуры, сильно трещиноватые и включающие обломки радиоляритов вдоль эндоконтакта, слагают несколько овальных в плане тел с отчетливо секущими контактами относительно вмещающих слоистых пород (J,-K,) и датируются (К/Аг) в 120млн. лет. Наиболее крупные овалы картируются в пределах выходов карбонатно-вулканогенной формации (рис.2) Обычны пачки и линзы радиоляритов, реже микритовых известняков. На крыльях Манкукской антиклинали соотношение с карбонатно-

Представительные химические составы вулканических пород карбонатно-вулканогенной, кремнисто известняково вулканогенной и эффузивно-вулканокластической формаций

INCOULM, %	Si D ₂	TiO ₂	Al ₂ O ₃	Fc ₂ O ₃	FeO	MnO	MgO	CaO	NazO	K ₁ O	P,O,	CO2	ח.ח.ח	Елага	Сумма
554-80	46 40	2,01	19,5	4,93	3,63	0,19	6,73	5,80	4,35	1,29	0.36		5,31		100,5
713	47 02	1,80	17,56	8,34	1,13	0,15	8,26	8,87	3,00	2,50	0,30	-	1,79		100,72
135a	38 22	0.37	9,73	8,36	3,97	0,14	22,29	3,12	1,00	0.08			13.13	_	100,41
94-82	44 10	2.16	19,86	10.72	0.84	0.24	3,87	7,35	4,30	0.50	0 18	2.55	3.76	-	100,43
94-92	46 17	1,86	18.13	8,66	2.52	0,24	5,59	7,82	3,60	0.25	0.13	2,15	3.27		100.39
05-07	46 64	1,10	17,77	9,54	1,14	0,46	4,40	10,64	2,80	0,15	0 27	2,59	2,79	0.36	100 65
05-09	49 98	1,05	19,16	10,07	1,67	0,55	2,80	0,69	4.09	0.35	0 48	5,34	4,2	0,23	100.66
05-13	48 48	1,45	17,96	13,75	1,19	0,68	3,81	4,79	2,83	0,47	016	0.04	4,33	0.07	100,01
05-15	45 80	1,71	14,54	11,48	2,52	0,47	3,80	10,71	3,90	0,33	0.16	1,93	2.73	0,26	100.34
05-16	45,97	1.56	18,98	12,39	1.64	0.58	6,63	1,91	3,42	0.05	0.18	2.72	3,97	0,15	100,15
98	49 09	1,30	13,30	4.53	8.23	CA.	6,29	9,40	4,10	0,11	011	3,35	0,86	0.03	100.67
105	45 02	1,02	13,31	0.80	10.5	0.25	12,15	7,02	2.80	0,06	011	5,18	1,91	0.05	100,18
106	52,27	1,02	11,32	1,70	10,4	0.28	7,17	7,00	2.30	0,05	0.17	5,94	1,12	0.04	100.78
05-01B	43 00	1,60	17,01	8,21	4,31	0.48	4,40	8,40	2.60	1,50	0.41	4,40	2,28	1,74	100.34
05-02 B	45 52	2,50	16,67	6,18	4.88	0.48	3,20	9.52	3,50	0.80	0.50	4,26	1,46	0.85	100.32
05-03 B	49 12	2,50	18,68	7,57	2.01	0.48	2.80	6,72	3,90	1,80	0.46	1.32	1,76	1,32	100.44
05-04 B	46 64	1,60	19,08	7,89	1,72	0,48	1,60	7.28	3.00	3,90	0.39	2.53	2,93	1.60	100 64
05-05 B	44 99	1,10	16,73	11,46	2.29	0.47	1,20	8,89	4,20	1,30	0.50	4,79	2,06	(),60	100 58

Примечание: знализы выполнены в лаборатории ИГН НАН РА, аналитики Гаспарян З., Назарян А. Карбонатновулканогенная формация (J, Ч-К, №). № 554-80 - высокотитанистый щелочной базальт; № 713 - щелочной базальт, шаровая лава, басс.р Манкук (Zakariadze et al., 1983); № 135а - пикродолерит, шаровая лава, ср. течение р Манкук; № 94-82 - базальт, пр. берег р Манкук; № 94-92, базальт, шаровая лава, левый берег р. Веди. Кремнисто-изнестняково-яулканогенная формация, ранний мел (К,). №05-07 - базальт, №05-09 - спилит басс. р. Хосров, № 05-13 - базальт; № 05-15 - базальт; № 05-16 - спилит; №№ 98,105,106 - спилиты, диабазы скв. 1-Октембирян. (Агамалян, Кургинян, 1989). Эгрфузивно-вулканокластическая формация (К №-К,), бассейн р. Хосров, № 05-01В - тефрит-базанит; № 05-02В - керсутитовый базальт; № 05-03В - щелочной базальт; № 05-04В - щелочной базальт. № 05-05В - шелочной базальт.

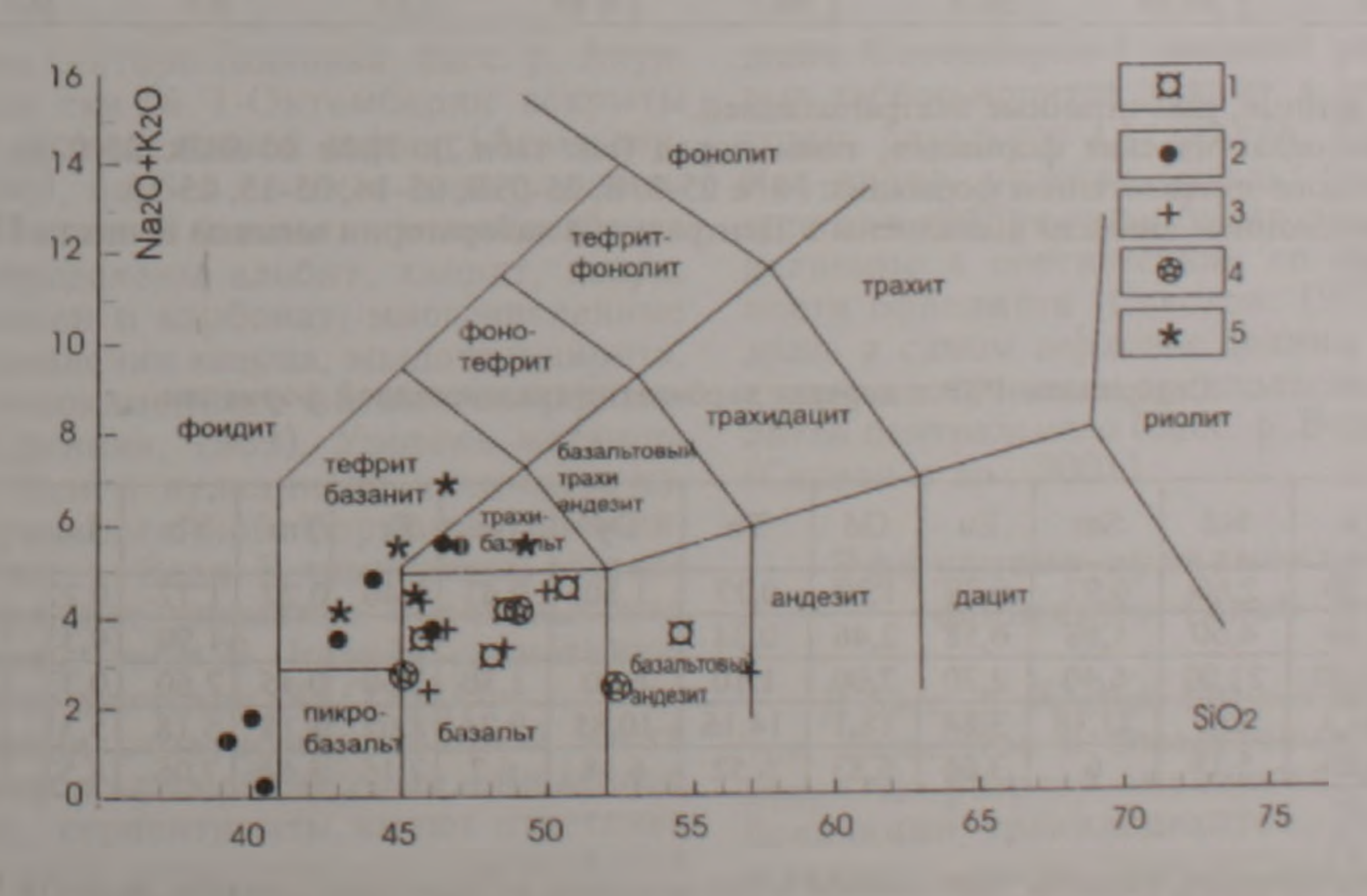


Рис.3. Составы вулканических пород вулканогенно-осадочных формаций на диаграмме SiO, — Na, O + К,O.1— вулканические породы базальтовой формации лейаса; 2 — вулканиты карбонатно-вулканогенной формации (К,), 4— толен овые базальты 3 -- вулканиты кремнисто-известняково-вулканогенной формации (К,), 4— толен овые базальты метадиабазы разреза скв.№1 Октемберян; 5 — вулканиты эффузивно-вулканокластической формации (К, К,)

вулканогенной формацией осложнено разломами Наиболее крупные тела серпентинитов, габбро размещены в кремнисто-известково-вулканогенной сормации на северо-восточном крыле Манкукской антиклинали Сравнительно с карбонатно-вулканогенной формацией складчатость менее интенсивная, деформации усиливаются в местах внедрения габбро, субвулканических

андезитов, обычны конседиментационные деструкции Мощности формации верховья басс. р. Веди сокращаются до выклинивания к югу, в низовьях долин рр Спитак-джур и Манкук, обозначая южное обрамление раннемелового бассейна. Содержание легких лантаноидов в породах формации приведено в табл 4.

Таблица З Содержаниє РЗЭ и других микроэлементов в породах эффузивно-вулканокластической и кремнисто известнякововулканогенной формаций

Обр.	115-01B	05-02B	05-03B	05-04B	05-07B	5-09B)5-14	05-15	05-16
ppm -	17,1	48.5	43.2	64 1	1.21	.76	2.11	7.13	2.1
Ce	18.5	99.8	78.1	101.5	4.03	.24	5.84	16.0	2.07
Pr•	1,7	11.3	7.82	9.5	0.84	1.93).9	2.07	1.16
Nd	162	45.9	27.6	31.3	6.08	.87	1.98	8.93	6.8
Sm	5.94	12.2	6.3	6.76	2.66	1.27	.81	2.55	2.57
Eu	1 88	3.69	2.36	1.19	1.48	.27) 76	0.95	0.85
Gd*	5.01	11.0	5.76	5.9	4.2	4	2.47	4.27	3.98
ТЪ).63	1.37	0.73	0.81	0.64	1.53).35	0.67	0.59
Dv≉	3.03	6.27	3.67	4.18	4.0	.99	1.98	4.3	3.32
Ho•	0.55	1.13	0.67	0.79	0.9	1.66).42	1.03	0.73
Er•	1.24	2.49	1.5	1.87	2.61	.85	1.15	3.0	2.0
Tm•	0.15	0.29	0.18	0.24	0.42	28	1.17	0.49	0.3
Yb	0.66	1.23	0.81	1.13	2.24	.5).88	2.87	1.6
Lu	0.09	0.16	0.11	0.16	0.4	1.25).14	0.5	0.27
Sr	230	1.500	255	420	140	45	230	1.200	650
Ba	295	10	525	480	58	.8		55:5	-
Cr	95.4	8.25	101.5	108.6	165.8	20.4	54,8	186.7	474.2
Th	7.31	5.22	8.73	8.0	0.24	1.32),53	0.65	0.44
U	1.07	0.91	0.85	0.95	1.1	68	1,38	3.58	2.23
Hf	5.27	7.26	7.1	5.63	3.64	2.21	1,5	1.54	1.94
Та	2.25	2.52	1.95	0.17	4),068	1.2	0.35
La/Ce	0.6	0.5	0.55	0.63	0.3	.33	0.36	0.45	1.01
La/Yb	71.36	39.43	53.3	56.7	0.54	.17	2.4	2.5	1.3

Примечание • - данные, рассчитанные экстраполяцией.

Эффузивно-вулканокластическая формация, типы пород (см. табл.2): №№ 05-01В, 05-02В, 05-03В, 05-04В. Кремнисто-известково-вулканогенная формация: №№ 05-07В, 05-09В, 05-14, 05-15, 05-16.

Нейтронно-активационные анализы выполнены в Центральной лаборатории анализа веществ ГЕОХИ РАН, зав. лаб. Колесов Г. М.

Содержание РЗЭ в породах карбонатно-вулканогенной формации

Таблица 4

ppm/Nº	La	Ce	Nd	Sm	Eu	Gd	Тъ	Dy	Но	Er	Tm	Yb	Lu	La/Cc	La/Yb
13	0,82	2,70	2,60	0,97	0,39	1,30	0,27	1,80	0,43	1,40	0,22	1,72	0,22	0.77	0,27
1	1,05	6,34	4,60	1,68	0,58	2,46	0,34	-	-		-	1,90	0,33	0,42	0,31
	-	38,00	21,00	6,40	2,70	7,00	1,10	6,00	1,30	3,50	0,45	2,60	0,33	2,61	8,33
	58,0:	-	25,7	21,18	3,84	18,1	14,16	10,85	9,24	8,02	8,18	5,18	5,31	1,34	11,2
06-47	4,87	4,83	5,18	6	3,66	6,83	6,52	6,18	6,7	7,16	8,64	7,05	8,57	1,00	0,7

Нейтронно-активационные анализы выполнены в Центральной лаборатории анализа веществ ГЕОХИ РАН, зав лао Колесов Г.М. Вмещающая толща: обр. №13 пикродолерит (по Zakariadze et al., 1983), обр №1, пикродолерит обр №713, субщелочной базальт, обр №06-42-карбонатит, басс р. Веди, обр. №06 47- пегматитовос габоро, басс. р Манкук.

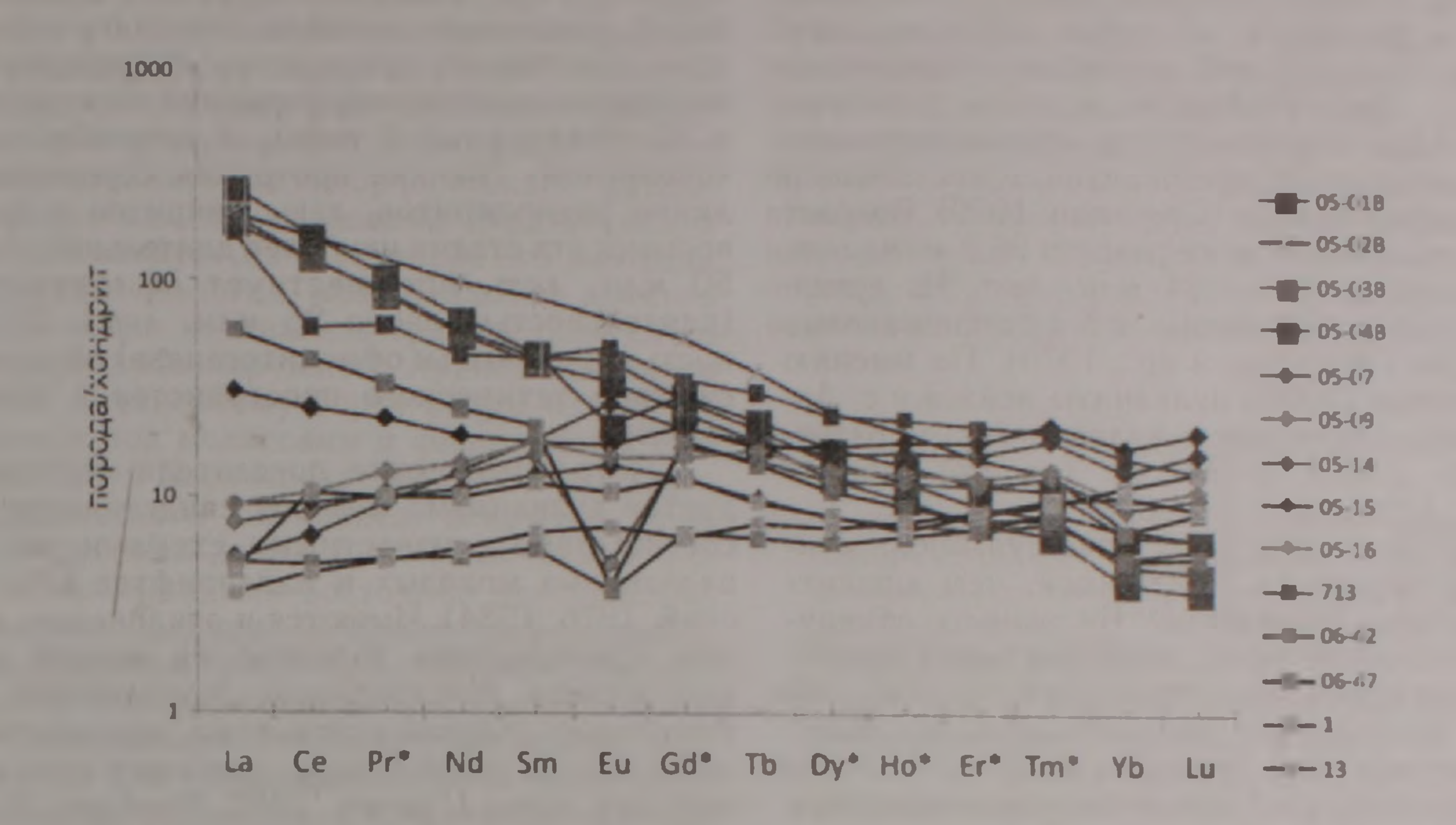


Рис. 4. Распределение содержаний РЗЭ (ppm) в вулканических породах басс. р. Веди, нормировано к хондриту (Anders and Cirevesse, 1989).

Примечание. Карбонатно-вулканогенная формация. пикродолериты (обр. 1, 13) демонстрируют самый низкий уровень содержаний РЗЭ, хондритовый профиль распределения с преобладанием ТРЗЭ и низким (La/Yb)п отношением Субщелочной базальт (713) заметно обогащен ЛРЗЭ и деплетирован ТРЗЭ, имеет крутой профиль кривой и сильное фракционирование элементов при более высоком (La/Yb)п отношении.

Кремнисто-и вестняково-вулканогенная формация: толеитовые базальты (спилиты) 05-15, 05-16 — обнаруживают невысокий, толеитовый уровень содержаний РЗЭ, близкий к хондритовому, пологий профиль кривой, слабое

фракционирование с неглубоким Ец-минимумом.

Эффузивно-ву лканокластическая формация тефрит-базанит- щелочной базальт (05-01В — 05-04В демонстрируют максимальное в изученном ряду формаций обогащение ЛРЗЭ и деплетированность ТРЗЭ, крутой наклон кривой, сильное фракционирование элементов, высокие (La/Yb)n отношения со слабо выраженным Еи-минимумом. Обогащенность Sr, устойчиво повышенные концентрации Cr, низкие — Th, Hf, Та показательны вулканитам кремнисто-известняково-вулканогенной формации (офиолитовой серии). В породах эффузивновулканокластической формации показательны значение Sr/Ba<1, повышенные концентрации Тл, Hf, Та.

В западном секторе (низовья басс. р. Ахурян), в разрезе скв № 1-Октемберян вскрыты базальты также толеитовой серии (Агамалян, Кургинян, 1989), но без пачек и линз радиоляритов и известняков В базальтах и метадиабазах этой серии определены альбит, хлорит, кварц, эпидот, лейкоксен и карбонат, многочисленные прожилки и скопления кварца, эпидота и пирита, продукты зеленокаменного автометаморфизма (Агамалян, Кургинян, 1989). Уровень метаморфизма выше, чем в вулканитах кремнисто-известняково вулканогенной формации офиолитовой серии басс. р. Веди В химическом составе базальтов обращает внимание более высокая магнезиальность (табл.2), низкая глиноземистость и высокие значения Na,O/K,O.

Соотношения стратифицированной части офиолитов с габбро-гипербазитовым комплексом м югообразны; серпентиниты имеют отчетливо рвущие контакты относительно вмещающей толщи (прструзии) В Ерахской антиклинали и в разрезах ряда глубоких скважин (1 — Карабахлар) над вулканитами офиолитовой серни покровы серпентинитов не отмечены, а в сква-

жине Октемберян-1 мощный разрез офиолитовых габбро-норитов вскрыт в основании толеитовых базальтов (Агамалян, Кургинян, 1989). Как видно, нижняя базальт-радиоляритовая и верхняя габбро-гипербазитовая пластины, выделяемые в соответствии со схемой аллохтонности офиолитов (Соколов, 1977), картируются лишь в самом верховье долины р. Веди, где по нашим построениям предполагаются корни офиолитов центрального (басс. р. Веди) сегмента шва (Сатиан и др., 2001).

Эффузивно-вулканокластическая формация (альб -турон)

В басс. р. Хосров потоки щелочных базальтов, базанитов и базальтовых трахнандезитов вверх по разрезу сменяются вулканическими брекчиями трахнандезитов. Изредка обнаруживаются силлы тешенитов (К/ Аг-107.8 млнлет) и трахитов (К/ Аг-84 млн. лет). Вулканические породы включают линзы и пачки мелководных апоорганогенно-обломочных, реже микрозернистых известняков, глинистых алевро-

литов Суммарная мощность формации в среднем течении р. Хосров достигает 140 м. Наибольшие мощности формации, не менее 400м, характеризуют разрез глубокой скважины к северо-востоку от с. Двин (Чатма-1): диабазы, разноразмерные туфы базальтового и андезитового составов с линзами (?) алевролитов, известняков и изредка радиоляритов (Степанян, 1979). Возраст (К/Аг) спилитов того же разреза 96,2 млн. лет, а габбро-эссекситов - 94 млн. лет. Из аргиллитов и редких яшм указываются позднемеловые радиолярии (Жамойда и др., 1976). По мнению ГА Казаряна (2005), вулканиты лейаса у с. Азнаберд коррелируются с вулканогенным разрезом к СЗ, в басс р. Эхегис (правый приток р. Арпа), в гайоне с. Артабуйк.

Парагенез пород эффузивно-вулканокластической формации (К, мв-К,) иной, чем юрскихраннемеловых формаций Вулканиты обнаруживают щелочной тренд, дифференцированность составов до грахиандезитов и трахитов (SiO, 44-61%) и принадлежат высококалиевому, высо-

котитанистому типу (табл.2, рис 3).

Особенности распределения редкоземельных элементов в описанных формациях отражены на сводной диаграмме и проинтерпретированы в примечании к рис.4

Обсуждение и выводы

Литодин амика Араксинской зоны в мезозое характеризуется переходом от континентальных узких рифтов к рифтоподобной обширной впадине с проявлением мантийного диапиризма. Составляющие частные впадины разобщены зонами поперечных глубинных разломов, либо приразломными поднятиями домезозойского основания.

В литодинамике Араксинской зоны обособляется крупная рифтоподобная структура с океанской корой, связанная с началом спрединга и проявлением мантийного диапиризма Переходная, карбонатно-вулканогенная формация несет признаки и континентальной коры, и новообразования «океанской» (мелкие протрузии серпентинитов, линзы радиоляритов, лавы пикритов и др.). По времени эта стадия наиболее длительная, порядка 50 млн. лет, предшествует офиолитогенезу (длительностью около 25 млн. лет). Прерванность спрединга (и офиолитогенеза) обусловлена сжатием тетического пространства к позднему сенону.

Петрохимические показатели состава продуктов вулканизма мезозоя свидетельствуют о соответствии с известными схемами эволюции вулканизма молодых и палеорифтов (Милановский, 1976, 1984). Имеются и отклонения, например, преобладание толеитов на ранней стадии рифтогенеза Многообразие геодинамики и тектонических условий вулканизма, как выясняется, свойственны рифтогенезу, особенно мезо-кайнозойского этапа (Грачев, 1987, Рамберг, Морган, 1984) Это положение иллюстрируется также дискриминационной диаграммой Th-Hf/3-Ta (рис.5), на которую сведены фигуративные точки составов всех выделенных формаций Араксинской зоны Из диаграммы следует, что породы эффузивно-вулканокластической формации, как и туфы щелочных лампрофиров, обогащены Th и тяготеют к полю щелочных внутриплитных базальтов, что, возможно, и под верждает их рифтогенную природу. Геохимические параметры

пород кремнисто-известково-вулканогенной

формации обнаруживают значительный разброс

и смещаются за пределы полей дискриминации

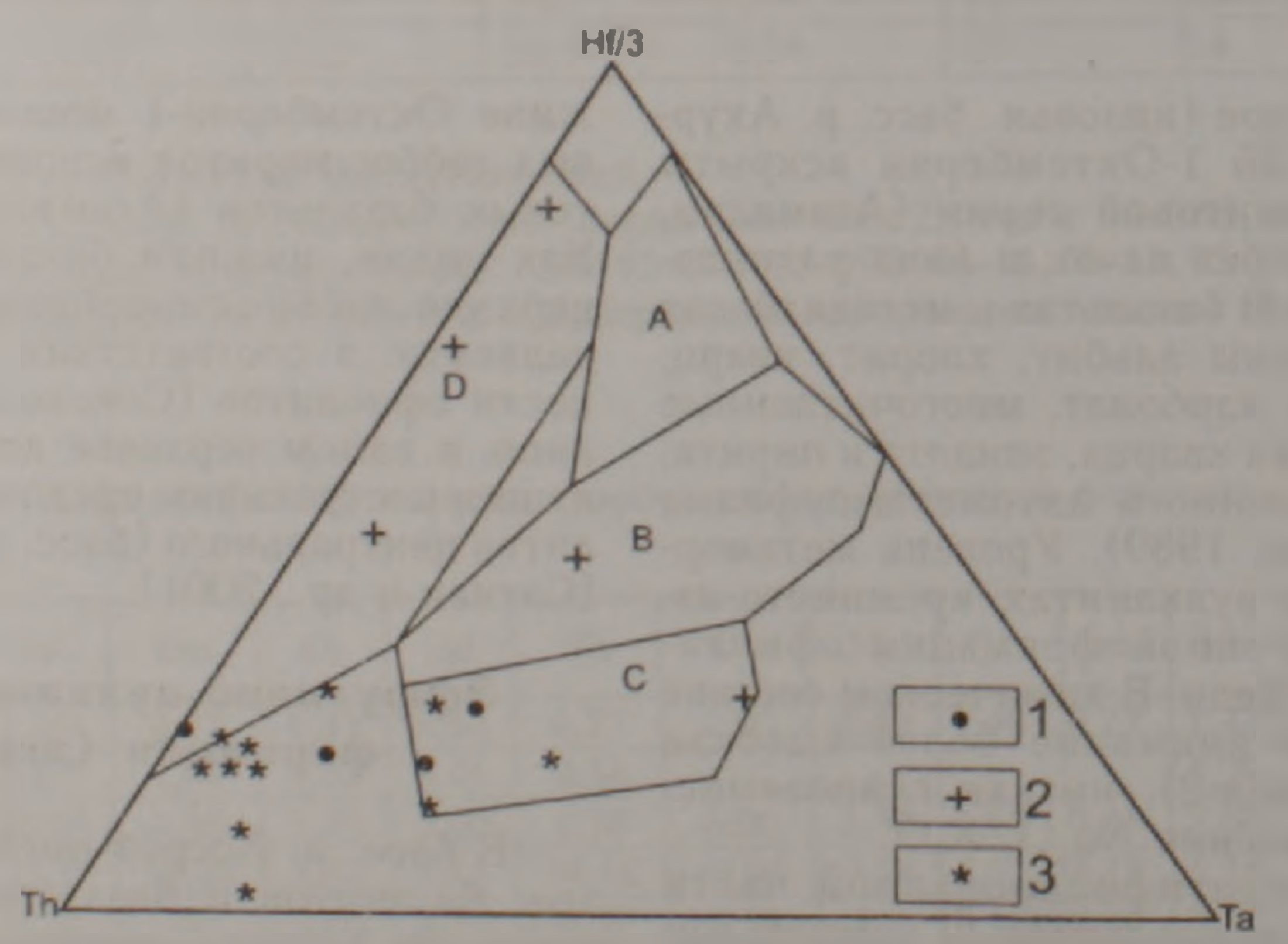


Рис. 5. Дискриминационная диаграмма Th-Hf/3-Та базальтов различных геодинамических обстановок (Wood, 1980). Оконтурены поля: А-нормальный тип базальтов срединноокеанических хребтов; В-обогащенный тип базальтов срединноокеанических хребтов; С-шелочные внутриплитные базальты; D-базальты островных дуг. Вфизивно-вулканокластическая формация, басс. р. Хосров 2. Кремнисто-известково-вулканогенная формация, басс. р. Хосров 2. Кремнисто-известково-вулканогенная формация, басс. р. Веди (Саакян и др. 2007)

Контурь зоны рифтогенеза могут быть опрелелены лишь в первом приближении, при том, что именно в Араксинской зоне были выполнены наиболее подробные геофизические исследования коры и пробурен ряд глубоких скважин Южным ее бортом является широтная полоса поднятий древнего метаморфического фундамента, погребенная под лавами стратовулкана Арарат, что следует из единичных его выходов, регнональной геологии мезо-кайнозоя южного склона, а также из анализа гравиметрического поля лево- и правобережнего Аракса (Сатиан и др. 2006). К северному борту рифта относится погребенное под молассами и флишоидами кайнозоя Маралик-Паракарское поднятие древнего метаморфического комплекса, вскрытое бурением на глубинах до 0,5-1км Намечаемое геофизическими методами восточное продолжение погребенного поднятия к Ераносской антиклинали фиксируется грави - и магнитометрической съемкой и подтверждается выходами экзотических глыб сланцев в ее ядре. Дальнейшее простирание на ЮВ предполагается по структурногеологическим признакам и единичным выходам вдоль западного фланга Мегринского батолита (у с. Пазмара), приподнятому уровню кровли «Ф» в Мегринском антиклинории и редким выходам по правобережью Аракса в Карадагском массиве с-з Ирана.

Араксинская зона, как видно, выходит за пределы Закавказья: аналоги спилитов лейаса(?) встречены на ЮВ в приразломных выходах с-з простирания в долине Даррех-Дуз. Находки вулканитов вблизи Кух-е-Карагуза среди осадочного разреза позднего палеозоя (Stepanov, Golshani Storklin, 1969) и по левобережью Аракса указывают на структурную сближенность

рифтов варисского этапа и лейаса.

В восточной Анатолии зона рифтогенеза коррелируется с зоной растяжения между Таврской платформой и Киршехирским блоком континентальной коры (Robertson, 2002), а офиолитовая сутура Араксинской зоны - с Южно-Анатолийской офиолитовой зоной Весьма значительно воздействие зоны глубинного разлома, примерно, вдоль долины р. Ахурян. Это крупный литосферный врез от восточного края Битлисских надвигов через офиолитовую сутуру Курдистанского хребта к долине среднего Аракса и далее на север- вдоль границы мезозоя восточного Понта и Сомхетских гор на северо-западе Армении. Вулканогенно-осадочные формации мезозоя Араксинской зоны на пересечении теряют осадочные компоненты, что характеризует меньшие антракты и большую интенсивность вулканизма. Здесь с офнолитовой сутурой стыкуются несколько разнонаправленных и разновозрастных крупных разломов, в их числе и сейсмогенных, образуя крупный тектономагматический узел.

В завершение несколько слов о параав тохтонном размещении офиолитов Араксинской зоны, преблема которого неоднократно обсуждалась (Асланян, Сатиан, 1977, 1987; Сатиан, 1979, 1984; Сатиан и др., 2001, 2005).

Схема эта соответствует и результатам глубинного сейсмического профилирования в Приараксье (Егоркина и др., 1976) Приведенные выше новые данные по строснию и составу вулканогенно-осадочных формаций мезозоя подтверждают параавтохтонную структурную позицию офиолитов и их закономерность, место в эволюционном ряду формаций мезозойской зоны рифтогенеза - одного из фрагментов пассивной окраины Палеотетиса, активизированной с конца варисского этапа и в мезозое.

Литература

Агамалян В.А., Кургинян Э.Н. О спилит-диабазовом и габбро-норитовом комплексах офиолитовой серии, вскрытых скв.1-Октемберян (западная часть Араратской депрессии). Изв АН АрмССР, Науки о Земле, 1989, №1, с. 26-38.

Азизбеков Ш.А. Геология Нахичеванской АССР М...

Госгеолтехиздат 1961, 500 с.

Аракелян Р.А. Стратиграфия древнего метаморфического комплекса Армении Изв. АН АрмССР, сер геол и

геогр наук, 1957, т. Х, № 5-6, с. 3-10.

Асланян А.Т., Сатиан М.А., Мнацаканян А.Х., Ханзатян Г.А. Высокомагнезнальные шаровые лавы Вединской офиолитовой зоны Малого Кавказа. Изв. АН Арм ССР, Науки о Земле, 1987, №1, с.9-16.

Асланян А.Т., Сатиан М.А. Тектонические условия становления офиолитовых зон. Ереван Изд АН Арм

CCP, 1987, 159c.

Ахундов В.Д. Мамедов Э.А. Палеозойский даечный комплекс Араксинской структурно-формационной зоны Малого Кавказа. В сб: Вопросы магматизма Азербайджана. Баку. Изд. Аз. ГУ. 1983, с. 109-112.

Белов А.А., Брагин Н.А., Вишневская В.С., Сатиан М.А., Соколов С.Д. Новые данные о возрасте офиолитов Веди (Армения). ДАН СССР. 1991, т. 321. № 4, с. 784 - 785.

Гасанов Т. Аб. Офиолиты Малого Кавказа. М.: Недра 1985, 220 с.

Грачев А.Ф. Рифтовые зоны Земли. М. Недра 1987, 285 с.

Грачев А.Ф., Карякин Ю.В. Формационная принадлежность вулканических серий (на примере раннеюрских вулканитов Нахиченанской АССР). Тезисы докладов IV Регионального петрографич совещ. 10-15 окт., Нахичеван, 1983, с.18-20.

Егоркина Г.В., Соколова И.А., Егорова Л.М. Глубинное строение ультрабазитовых поясов Армении Сов.

Геология. 1976, №3, с.122-137.

Жамойда А.И., Казинцова Л.И., Тихомирова Л.Б. Комплексы мезозойских радиолярий Малого Кавказа. Изв. АН СССР Сер геол., 1976, № 2, с. 155-160

Зоненшайн Л., Деркур Ж., Казьмин В. и др. Эволюция Тетиса. В кн.: История океана Тетис. М.: Изд АН СССР, Ин-т океанологии им. П.П. Ширшова, 1987, с.104-115.

Казарян Г.А. Рифтогенный вулканизм северо-восточной части Араксинского нагорья Изв. НАН РА Науки

о Земле, 2005, № 3, с.24-35.

Карякин Ю.В. Геодинамические обстановки формирования вулканогенных комплексов Малого Кавказа в альпийское время. М.: Наука. 1989, 150 с.

Кванталиани И.В. Среднеюрско-раг немеловые аммониты Вединской офиолитовой зоны Малого Кавказа. Тбилиси: Изд АН Грузии 2000, 90 с. Кузнецов П.П., Симонов В.А. Офислиты и рифты

29

Новосибитск: Наука, Сибирское отделение, 1988, 150c.

Лочизе М.Г. Тектоническая обстановка геосинклинального вулканизма. 1983, М.: Недра. 194 с.

Милановский Е.Е. Рифтовые зоны континентов. 1976,

М Недра, 280с.

- Милановский Е.Е. Эволюция рифтогенеза в истории Земли. В докл 27 МГК, 1984, т. 7, Тектоника, М. c. 109-126.
- Осипова И.Б. Арменакян К.А. Тектоническое строение Приараксинской депрессии данным по сейсморазведки МНРП и бурения. Изв. АН Арм ССР, Науки о Земле, 1975, № 3, с.51-56.

Рамберг И., Морган II. Физическая характеристика и направлен не эволюции континентальных рифтов. В докл. 27 МГК, 1984, т.7, Тектоника, М. с.78

Ростовцев КО., Азарян Н.В. Юрские отложения Нахичевана в юго-западной Армении. Изв АН СССР. Сер. геоло ия, 1971, №7, с.123-127.

Рустамов М.А Олистостромовые образования и проблемы офиол тов Араксинской зоны. Изв. АН Азерб. ССР, Науги о Земле. Геология, 1979, №5, с.84-92.

Саакян Л.Г., Сатиан М.А., Степанян Ж.О. К геохимии щелочно-лампрофировых туфов трубок взрыва мезозоя Ведийской зоны (Армения). Изв. НАН РА, Науки о 3смлс, 2007, т. LXV, №2, с. 28-35.

Сатиан М.А., Степанян Ж.О., Чолахян Л.С. Новые данные о верхнемеловой вулканогенно-осадочной толще юго-запад ной части Малого Кавказа. Бюлл. МОИП, отд. геол., 1967, т. ХІШ (3), с. 90-98.

Сэтиан М.А., Варданян А.В., Кванталиани И.В. Открытие отлож ний берриаса в Вединской офиолитовой зоне Малого Кавказа. ДАН Арм ССР. 1989, т. 88,

No 5, c. 228-231.

Сатиан М.А., Варданин А.В., Варданян В.А. Серпентинитовый меланж Ерахской антиклинали (Вединская офиолитовая зона Армении). Изв НАН РА. Науки о 3:млс 1999, № 2-3, с.14-21.

Сатиан М.А., Варданян А.В., Степанян Ж. О., Гукасян Р. Х. Обна эужение карбонатитов в Вединской офиолитовой зоне Закавказья ДНАН Армении. 2000,

T. 100. № 2, c. 159-164.

Сатиан М.А. Позднемеловой литогенез офиолитовых зон Армянской ССР. Ереван: Изд. АН Арм ССР, 1979, 108c.

Сатнан М.А. Офиолитовые прогибы Мезотетиса Ереван: Изд.АН АэмССР, 1984, 193с.

Сатиан М.А., Мнацаканян А.Х., Степанян Ж.О. О вулканогенно-осадочных формациях мезозоя верховья бассейна реки Вели (Вединская офиолитовая зона Армении) Изв НАН РА Науки о Земле. 2001, №2, c. 6-11.

Сатиан М.А., Степанян Ж.О., Саакян Л Г., Мнацаканян А.Х., Гукасян Р.Г. Лампрофировые трубки взрыва мезозоя Ведийской зоны (Армения). Ереван: Изд Наири. 2005, 148 с.

Сатиан М.А. Мириджанян Р.Т., Акопян Э.М. О доорогенных формациях и геодинамике западного сегмента Приараксинской тектонической зоны (Армения). Изв. НАН РА. Науки о Земле, 2006, №1, с. 3-9.

Соколов С.Д. Олистостромовые толщи и офиолитовые покровы Малого Кавказа. 1977. М.: Наука. 93 с.

Степанян Ж.О. Литология верхнемеловь х вулканогенноосадочных комплексов Еревано-Ордубадской и Горисско-Кафанской зон Малого Кавказа (Армянская ССР). В сб.: . Стратигра фия и литология Армянской ССР. 1979, Ереван: Изд. АН Арм ССР, c. 196-298.

Хаин В.Е., Ломизе М.Г. Геотектоника с основами

геодинамики. М: Изд. МГУ, 2005, 557с.

Ханзатян Г.А. О литологических особенностях отложений пермо-триаса разреза Дарац ам-2 (Нах.АР) и возрасте силлов и штоков базальтоидов Изв. НАН РА. Науки о Земле, 1992, т. XLV, № 3, с. 23-34.

Anders E., Grevesse N. Abundances of elements: meteoritic and

solar "Geochim. Acta", 1989, v. 53, p. 197-214.

Danelian T., Asatryan G., Sosson M., Person A., Sahakyan L., Galoyan G. Discovery of Middle Jurassic (Bajocian) Radiolaria from the sedimentary cover of the Vedi ophiolite (Lesser Caucasus, Armenia) General paleontology, C. R. Palevol 7, 2008, pp 327-334.

Robertson A.H.F. Overview of the genesis and emplacement of Mesozoic ophiolites in the Eastern Mediterranean Tethyan re-

gion. Lithos 65, 2002, pp 1-67.

Robertson A.H.F. Late Paleozoic-Early Mesozoic tectonic development of Tethys in the eastern Mediterranean region. International symposium on Middle East basins evolutions. (MEBE), Paris 4-5 decembre 2007, volume des résumés, 2007, C9 (2p.).

Stepanov D.L., Golshani Storklin J. Upper Permian and Permian-Triassic boundary in North Iran. Geol. Sur. Iran,

Report 1969, No. 12, 70p.

Zakariadze G.S., Knipper A.L., Sobolev A.V., Tsameryan O.P., Dmitriev L.V., Vishnevskaya V.S., Kolesov G.M. The ophiolite volcanic series of the Lesser Caucasus. Ofioliti 8, 1983, p.439-466

Wood D. The application of a Th-Hf-Ta diagram to problems of tectonomagmatic classification and to establish the nature of crustal contamination of basaltic lavas of the British Tetiary province. Eart and Planet Lett, 1980, vil. 50, p. 11-30.

Рецензент С.А.Паланджян

Մ.Ա. Սաթյան, Ժ.Հ. Ստեփանյան, Ա.Խ. Մնացականյան, Լ.Հ. Սահակյան

Ushnynis

Լրաքսի զոնայի մեզոզոյան ոիֆթոգեն ֆորմացիաները բնութագրում են մայրցասաքային կեղևի դեստրուկցիան, փակվող Պալեոթետիսի, «վերածնված» Թետիսի՝ օվկիանոսային կեղևի նորառաջացմամբ, ընդհատված ուշ կավճի վերջում, Մեզոթետիսի լիթոսֆերայի սեղմման արդյունքում։ Լեյասի տոլեիտային բազալտները բնութագրում են բիֆտոգենեզի առաջին փուլը, որի սկիզբը թվագրվում է ուշ կարբոն(?)-տրիաս: Ալկալային և տոլեիտային բազալտները, պիկրուրվերիտները՝ մինչօֆիոլիթային կարբո

ON LITHODINAMICS OF THE ARAX ZONE RIFTOGENESIS (ARMENIA)

M.A. Satian, J.O. Stepanyan, A.Kh. Mnatsakanyan, L.H. Sahakyan

Abstract

Mesozoic riftogen formations of the Arax zone is characterizing continental crust destruction of obturating Paleotethys, "revival" Tethyis, neoformation of the ocean type crust, interrupted by compression of Mesotethys lithosphere in the end of Late Cretaceous. Liassic tholeitic basalts characterize first stage of riftgenesis and begining character concerns to Late Carboniferous(?)-Triassic. Alkaline and tholeitic basalts, picrodolerites of preophiolite carbonate-volcanogenic formations (Late Kara) are replaced by toleitic basalts of ophiolite series (Kara) and the alkaline differentiated series of effusive-volcanogenic formations (Kara). In rift segmentation are determining Trancaucasus zones of deep faults and cross-section raising of premesozoic complex.